

บทที่ 4

ผลการศึกษา

ผลการศึกษา นำเสนอเป็น 3 ตอน คือ

ตอนที่ 1 การคัดเลือกผู้ป่วยเข้ารับการศึกษาและข้อมูลพื้นฐาน

ตอนที่ 2 การวินิจฉัยวัณโรคเยื่อหุ้มปอดโดยวิธีมาตรฐาน

ตอนที่ 3 ระดับแกมมาอินเตอร์เฟียร์รอนในน้ำจากช่องเยื่อหุ้มปอด และการใช้วินิจฉัยวัณโรคเยื่อหุ้มปอด

ตอนที่ 1 การคัดเลือกผู้ป่วยเข้ารับการศึกษาและข้อมูลพื้นฐาน

ในช่วงระยะเวลาที่คัดเลือกผู้ป่วยเข้าทำการศึกษา (30 เมษายน พ.ศ. 2540 ถึง 20 มกราคม พ.ศ. 2541) มีผู้ป่วยเข้ารับการเจาะน้ำในช่องเยื่อหุ้มปอดที่หน่วยโรคปอด โรงพยาบาลจุฬาลงกรณ์ จำนวน 180 ราย ในจำนวนนี้เป็น การเจาะเพื่อการรักษาอย่างเดียว (therapeutic thoracentesis) 4 ราย และเจาะเพื่อการวินิจฉัย 176 ราย

ผู้ป่วยที่รับการเจาะน้ำในช่องเยื่อหุ้มปอดเพื่อการวินิจฉัย พบเป็นเลือดหรือหนอง 9 ราย ทรานซูดัท (transudate) 6 ราย เอกซุเดทชนิดเซลล์ PMN เค้น 49 ราย ซึ่งผู้ป่วยเหล่านี้ไม่เข้าเกณฑ์การคัดเลือกเข้าศึกษา เหลือที่เป็นเอกซุเดทชนิดเซลล์ลิมโฟไซต์เค้น 112 ราย

ในผู้ป่วยดังกล่าวจำนวน 112 ราย ถูกคัดออกจากการศึกษา 38 ราย ด้วยเหตุผลคือ ได้รับความดันวัณโรคมาแล้ว 3 ราย การเจาะได้ตัวอย่างน้ำหรือชิ้นเนื้อไม่เพียงพอ 5 ราย การเก็บตัวอย่างมีข้อบกพร่อง 1 ราย แพทย์ผู้ดูแลไม่ได้เก็บตัวอย่างน้ำไว้ 15 ราย ไม่สามารถให้การวินิจฉัยถึงสาเหตุของน้ำในช่องเยื่อหุ้มปอด 11 ราย และผู้ป่วย 3 รายพบ granuloma จากชิ้นเนื้อเยื่อหุ้มปอดแต่เมื่อติดตามผู้ป่วยหลังให้ยาต้านวัณโรคแล้วพบว่าไม่ดีขึ้น และมีอาการที่บ่งว่าน่าจะเป็นโรคอื่นแต่ไม่

ได้รับการตรวจยืนยันที่จำเพาะ เหลือผู้ได้รับคัดเลือกเข้าทำการศึกษา 74 รายจากผู้เข้าเกณฑ์ทั้งหมด 109 ราย ตามแผนภูมิที่ 1

ผู้ป่วยทั้ง 74 ราย แบ่งเป็นวัณโรคเยื่อหุ้มปอด 47 ราย เป็นผู้ที่เข้าเกณฑ์การวินิจฉัยวัณโรคเยื่อหุ้มปอด 39 ราย และเข้าเกณฑ์น่าจะเป็นวัณโรคเยื่อหุ้มปอด 8 ราย แสดงข้อมูลพื้นฐานในตารางที่ 1

กลุ่มที่ไม่ใช่วัณโรคเยื่อหุ้มปอด 27 ราย เป็นมะเร็งเยื่อหุ้มปอด 15 ราย เป็นน้ำในช่องเยื่อหุ้มปอดที่เกี่ยวข้องกับมะเร็ง 11 ราย และ เกิดร่วมกับลิ้นหัวใจอักเสบเรื้อรัง 1 ราย ข้อมูลพื้นฐานผู้ป่วยมะเร็งเยื่อหุ้มปอดและน้ำในช่องเยื่อหุ้มปอดที่เกี่ยวข้องกับมะเร็งแสดงในตารางที่ 2

สำหรับผู้ป่วยอีก 1 รายที่มีน้ำในช่องเยื่อหุ้มปอดร่วมกับลิ้นหัวใจอักเสบเรื้อรัง มีข้อมูลพื้นฐานดังนี้ เป็นผู้ป่วยชาย อายุ 18 ปี ไร้ยาเสพติดเข้าเส้น anti-HIV negative เป็นลิ้นหัวใจอักเสบมา 1 เดือน(มี vegetation ที่ pulmonic valve) มีน้ำในช่องเยื่อหุ้มหัวใจร่วมด้วย น้ำในช่องเยื่อหุ้มปอดมีปริมาณน้อย สีน้ำตาลเลือด ผลพยาธิวิทยาของเยื่อหุ้มปอดเป็น chronic non-specific inflammation เซลล์วิทยาของน้ำในช่องเยื่อหุ้มปอดไม่พบเซลล์ที่ผิดปกติ การเพาะเชื้อไม่ขึ้น เมื่อรักษาลิ้นหัวใจอักเสบแล้วพบว่าน้ำในช่องเยื่อหุ้มปอดหายไป

คุณสมบัติของน้ำจากช่องเยื่อหุ้มปอดเปรียบเทียบระหว่างกลุ่มวัณโรคเยื่อหุ้มปอดและกลุ่มไม่ใช่วัณโรคเยื่อหุ้มปอดแสดงในตารางที่ 3 และแผนภูมิที่ 2 และ 3

ตอนที่ 2 การวินิจฉัยวัณโรคเยื่อหุ้มปอดโดยวิธีมาตรฐาน

แสดงในตารางที่ 4 และเปรียบเทียบกับการศึกษาอื่นๆในตารางที่ 5

ตอนที่ 3 ระดับแกมมาอินเตอร์เฟอรอนในน้ำจากช่องเยื่อหุ้มปอด และการใช้วินิจฉัยวัณโรคเยื่อหุ้มปอด

ELISA kit ที่ใช้ในการศึกษานี้มีความไวในการตรวจ IFN- γ ในตัวอย่างที่มีระดับต่ำถึง 3 pg/mL ได้ การศึกษานี้ น้ำจากช่องเยื่อหุ้มปอดบางตัวอย่างมีค่า OD ต่ำมากจนไม่สามารถแยกจาก

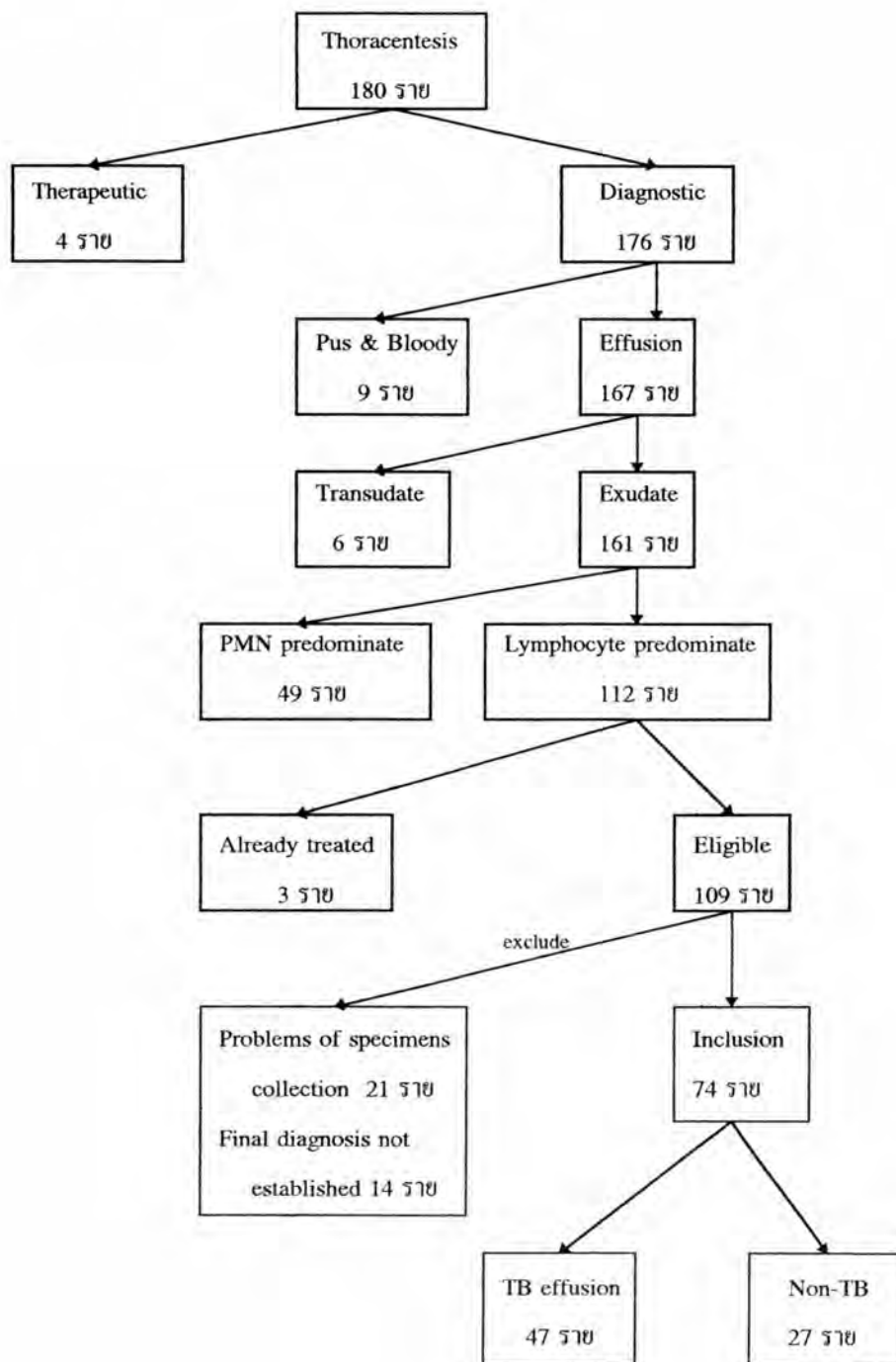
negative control (คือ standard IFN- γ solution 0 pg/mL) ได้ จะรายงานค่าระดับ IFN- γ ของตัวอย่างเหล่านี้ว่าเท่ากับ 3 pg/mL ตามความไวของ test

ระดับ IFN- γ ในน้ำจากช่องเยื่อหุ้มปอดในผู้ป่วยกลุ่มต่างๆ แสดงในภาคผนวก แสดงการกระจายในแผนภูมิที่ 4, 5 และ 6 ค่าเฉลี่ย ส่วนเบี่ยงเบนมาตรฐาน พิสัย และ p-value ของความแตกต่างในแต่ละกลุ่มแสดงในตารางที่ 6

ในกลุ่มวัณโรคเยื่อหุ้มปอดซึ่งมีระดับ IFN- γ สูงกว่าสาเหตุอื่น ไม่พบสหสัมพันธ์ (Correlation) ระหว่างระดับ IFN- γ กับระดับโปรตีนในน้ำจากช่องเยื่อหุ้มปอด ($r = -0.242$, $p > 0.05$)

การใช้ในการวินิจฉัยวัณโรคเยื่อหุ้มปอด แสดงในตารางที่ 7, 8 และแผนภูมิที่ 7, 8 และ 9 เปรียบเทียบกับการศึกษาอื่นๆ ในตารางที่ 9 และ 10

แผนภูมิที่ 1 การคัดเลือกผู้ป่วยเข้ารับการศึกษ



ตารางที่ 1 ข้อมูลพื้นฐานของผู้ป่วยวัณโรคเชื้อหุ้มปอด

จำนวนผู้ป่วย (ราย)	47
เป็นวัณโรคเชื้อหุ้มปอด	39 (83.0%)
น่าจะเป็นวัณโรคเชื้อหุ้มปอด	8 (17.0%)
เพศ ชาย:หญิง	37 : 10 (78.7% : 21.3%)
พิสัยของอายุ (ปี)	15-75
อายุเฉลี่ย (mean ± SD)	39.9 ± 16.9
โรคร่วมทางอายุรกรรม	15 (31.9%)
ติดเชื้อเอชไอวี (HIV)	12
เบาหวาน	3
ได้รับยาสเตียรอยด์	1

ตารางที่ 2 ข้อมูลพื้นฐานของผู้ป่วยมะเร็งเยื่อหุ้มปอดและน้ำในช่องเยื่อหุ้มปอดที่เกี่ยวข้องกับมะเร็ง

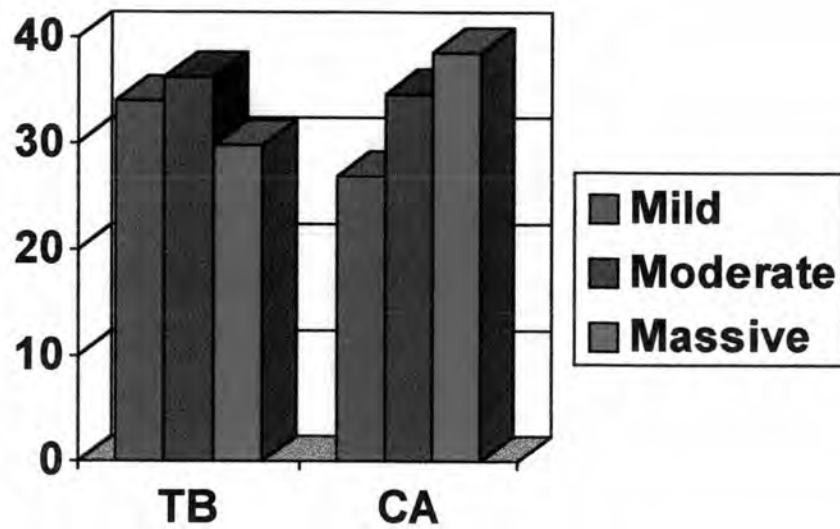
จำนวนผู้ป่วย (ราย)	26
มะเร็งเยื่อหุ้มปอด	15 (57.7%)
เกี่ยวข้องกับมะเร็ง	11 (42.3%)
เพศ ชาย : หญิง	5 : 21 (19.2% : 80.8%)
พิสัยของอายุ (ปี)	27-94
อายุเฉลี่ย (mean \pm SD)	58.9 \pm 16.8
อวัยวะที่เป็นต้นเหตุ (primary)	
ปอด	12
ทางเดินอาหาร	4
เต้านม	3
รังไข่	3
ต่อมน้ำเหลือง	2
ต่อมธัยมัส	1
ต่อมหมวกไต	1

ตารางที่ 3 คุณสมบัติของน้ำจากช่องเยื่อหุ้มปอดเปรียบเทียบระหว่างกลุ่มวัณโรคเยื่อหุ้มปอดและไม่ใช้วัณโรคเยื่อหุ้มปอด

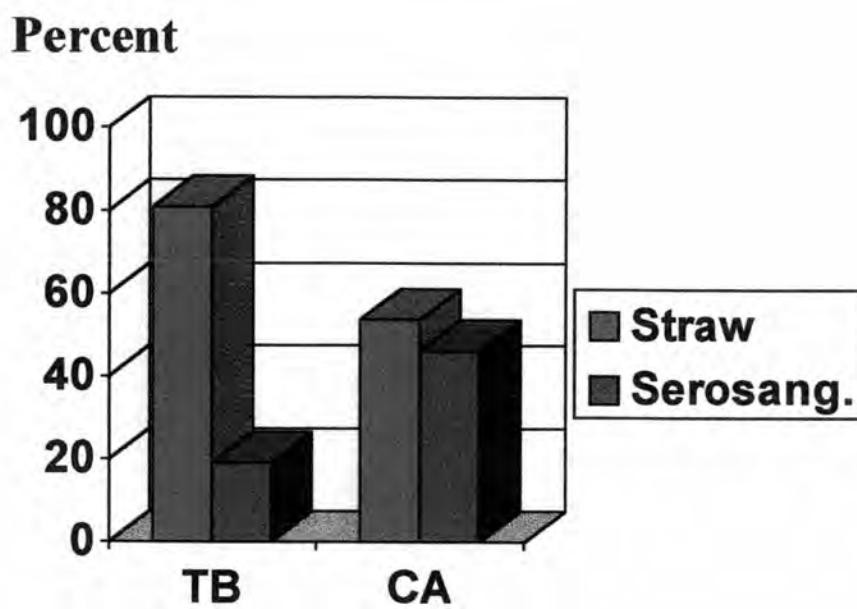
	ค่าเฉลี่ย (mean)	ส่วนเบี่ยงเบน มาตรฐาน(SD)	พิสัย (range)	p-value
<u>จำนวนเม็ดเลือดขาว (cell/μL)</u>				
วัณโรคเยื่อหุ้มปอด	2071.3	1759.3	100-9550	0.43
ไม่ใช้วัณโรค	1740.7	1721.8	250-7450	
<u>จำนวนลิมโฟไซต์ (ร้อยละ)</u>				
วัณโรคเยื่อหุ้มปอด	82.6	13.5	50-98	0.36
ไม่ใช้วัณโรค	79.7	13.1	55-97	
<u>โปรตีนในน้ำจากช่องเยื่อหุ้มปอด (g/dL)</u>				
วัณโรคเยื่อหุ้มปอด	5.96	1.09	3.8-11.0	7.2×10^{-7}
ไม่ใช้วัณโรค	4.51	1.07	2.8-6.6	
<u>LDH ในน้ำจากช่องเยื่อหุ้มปอด (U/L)</u>				
วัณโรคเยื่อหุ้มปอด	813.3	460.2	202-2910	0.58
ไม่ใช้วัณโรค	924.8	969.3	220-4400	
<u>pleural fluid protein / serum protein</u>				
วัณโรคเยื่อหุ้มปอด	0.73	0.10	0.53-1.24	1.7×10^{-4}
ไม่ใช้วัณโรค	0.62	0.12	0.40-0.84	
<u>pleural fluid LDH / serum LDH</u>				
วัณโรคเยื่อหุ้มปอด	1.71	0.82	0.30-3.40	0.005
ไม่ใช้วัณโรค	1.17	0.66	0.40-2.69	

แผนภูมิที่ 2 ปริมาณน้ำในช่องเยื่อหุ้มปอดจากภาพรังสีของผู้ป่วย
วัน โรคเยื่อหุ้มปอดและมะเร็งเยื่อหุ้มปอด

Percent



แผนภูมิที่ 3 สีของน้ำจากช่องเยื่อหุ้มปอดในผู้ป่วยวัณโรคเยื่อหุ้มปอด และมะเร็งเยื่อหุ้มปอด



ตารางที่ 4 ผล (yield) ของการวินิจฉัยด้วยโรคเยื่อหุ้มปอดโดยวิธีการต่างๆ

วิธีการ	ผลบวก/จำนวนตัวอย่างที่ส่ง	ผลบวก (%)
1. เพาะเชื้อจากชิ้นเนื้อ	15/44	34.1
2. เพาะเชื้อจากน้ำในช่องเยื่อหุ้มปอด	11/47	23.4
3. พบ granuloma ในชิ้นเนื้อ	33/45	73.3
caseous granuloma	20/33	60.6
non-caseous granuloma	13/33	39.4
4. ย้อมสีทึบกรด(AFB)ในชิ้นเนื้อ	17/45	37.8
ย้อมสีทึบกรดกรณีพบ granuloma	17/33	51.5
5. ย้อมสีทึบกรดน้ำในช่องเยื่อหุ้มปอด	0/47	0
รวมวิธีที่ 1 และ 3	36/44	81.8
รวมทุกวิธี	39/47	83.0

ตารางที่ 5 เปรียบเทียบผล (yield) ของการวินิจฉัยวัณโรคเชื้อหุ้มปอดด้วยวิธีต่างๆ
กับการศึกษาอื่นๆ

วิธีการ	ผลจากการศึกษา (%)	ผลจากการศึกษาอื่นๆ*
1. เพาะเชื้อจากชิ้นเนื้อ	34.1	32.3-76.2 ^{2,7}
2. เพาะเชื้อจากน้ำ ในช่องเยื่อหุ้มปอด	23.4	23-67.6 ^{2,7}
3. พบ granuloma ในชิ้นเนื้อ	73.7	56.5-90 ^{2,7}
caseous granuloma	60.6	62.1-78.8 ^{4,7}
non-caseous granuloma	39.4	37.9 ⁴
4. AFB stain ในชิ้นเนื้อ	37.8	8.6-18 ^{5,6}
AFB stain กรณีพบ granuloma	51.5	20.7-51.9 ^{4,7}
5. AFB stain ในน้ำจาก ช่องเยื่อหุ้มปอด	0	0-23 ^{2,5,6}
รวมวิธีที่ 1 และ 3	81.8	95.2 ³
รวมวิธีที่ 1 และ 2	38.3	60 ⁵
รวมทุกวิธี	83.0	80 ⁵

* เกณฑ์การวินิจฉัยวัณโรคเชื้อหุ้มปอดในแต่ละการศึกษามีความแตกต่างกัน

ตารางที่ 6 ค่าเฉลี่ย (mean) ส่วนเบี่ยงเบนมาตรฐาน (standard deviation) และพิสัย (range) ของระดับแกมมาอินเตอร์เฟียรอนในผู้ป่วยกลุ่มต่างๆ

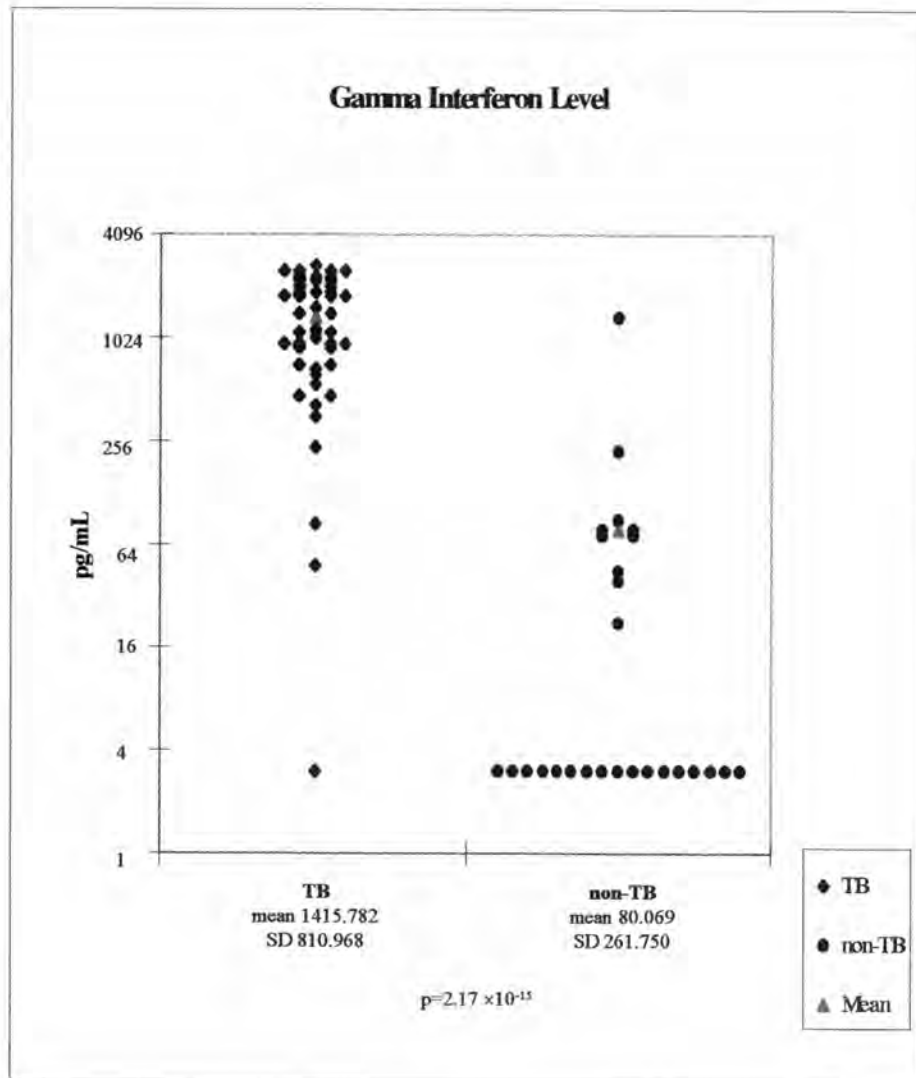
กลุ่มผู้ป่วย (จำนวน)	ค่าเฉลี่ย (mean)	ส่วนเบี่ยงเบน มาตรฐาน(SD)	พิสัย (range)	p-value
<u>แบ่งตามกลุ่มโรค</u>				
วันโรค (47)	1415.782	810.968	3-2749.968	2.17×10 ⁻¹⁵
ไม่ใช่วันโรค(27)	80.069	261.750	3-1365.081	
<u>กลุ่มวันโรคตามเกณฑ์การวินิจฉัย เข้ากับเกณฑ์การ</u>				
วินิจฉัยวันโรค (39)	1493.259	819.806	3-2749.968	0.064
น่าจะเป็นวันโรค (8)	1038.081	690.575	49.942-2125.365	
<u>กลุ่มวันโรคตามสถานะการติดเชื้อเอชไอวี</u>				
anti-HIV+ (11)	1177.988*		420.536-2607.317	0.128†
anti-HIV- (5)	502.734*		49.942-2506.412	
<u>กลุ่มวันโรคตามปริมาณน้ำในภาพรังสีปอด</u>				
ปริมาณน้อย (16)	1319.478	776.989	49.942-2749.968	0.645‡
ปริมาณปานกลาง (17)	1564.844	733.211	255.612-2603.232	
ปริมาณมาก (14)	1344.833	960.716	3-2607.317	

* มัชยฐาน (median)

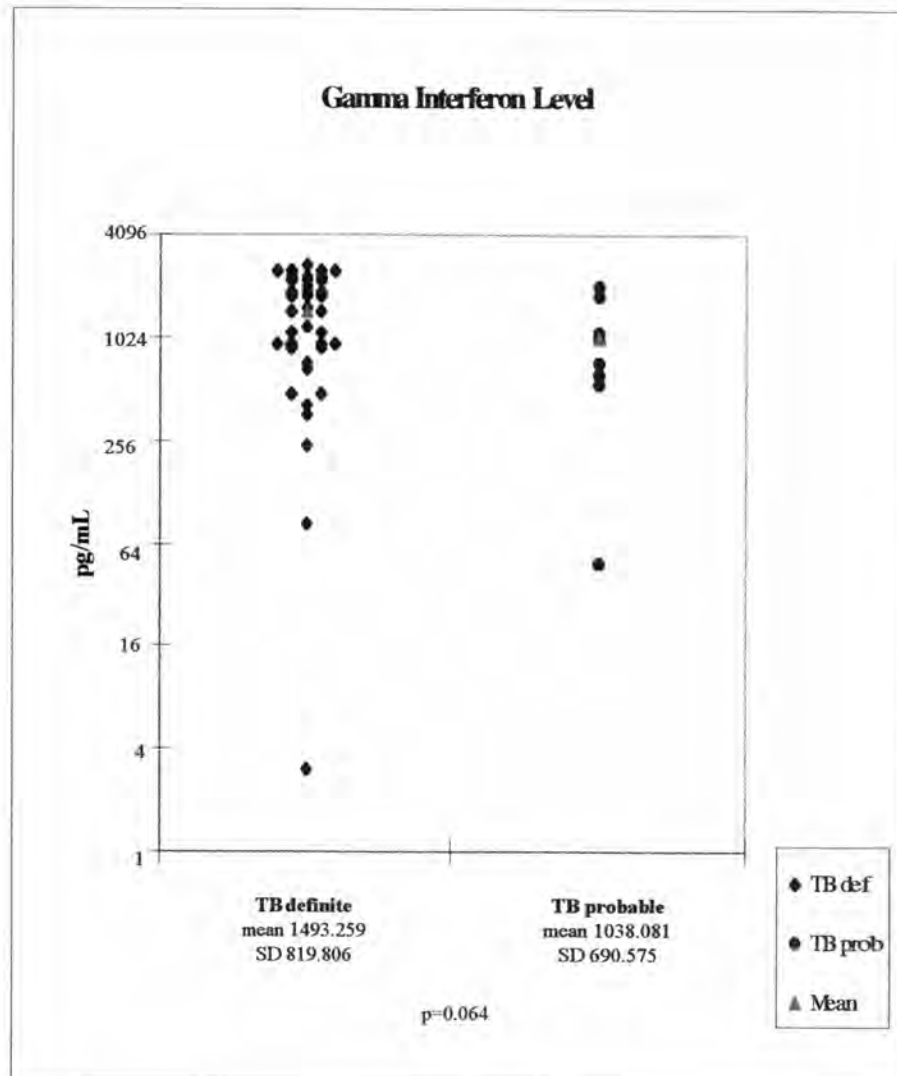
† median test

‡ oneway ANOVA

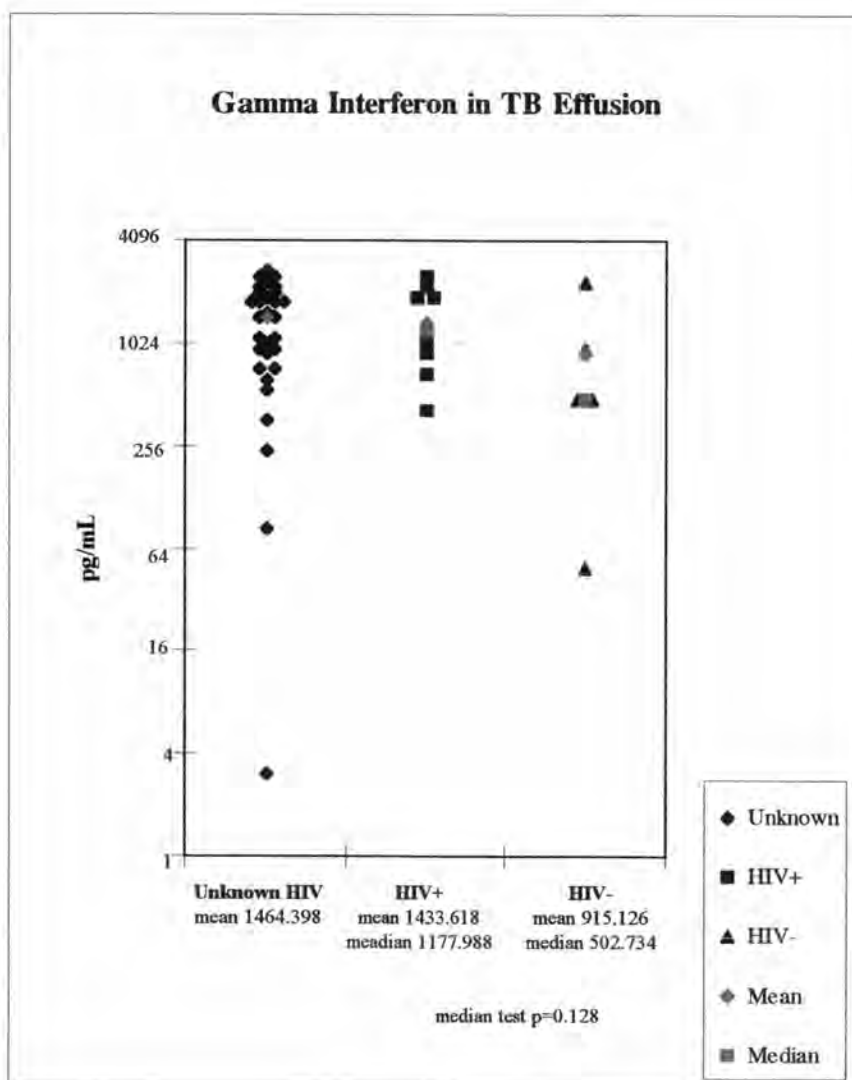
แผนภูมิที่ 4 ระดับแกมมาอินเตอร์เฟอรอนในน้ำจากช่องเยื่อหุ้มปอด
แยกตามกลุ่มโรค



แผนภูมิที่ 5 ระดับแกมมาอินเตอร์เฟอรอนในน้ำจากช่องเยื่อหุ้มปอด
แสดงการกระจายของกลุ่มที่น่าจะเป็นวัณโรค



แผนภูมิที่ 6 ระดับแกมมาอินเตอร์เฟียร์อนในน้ำจากช่องเยื่อหุ้มปอดแสดง
สถานภาพการติดเชื้อเอชไอวีในกลุ่มวัณโรคเยื่อหุ้มปอด



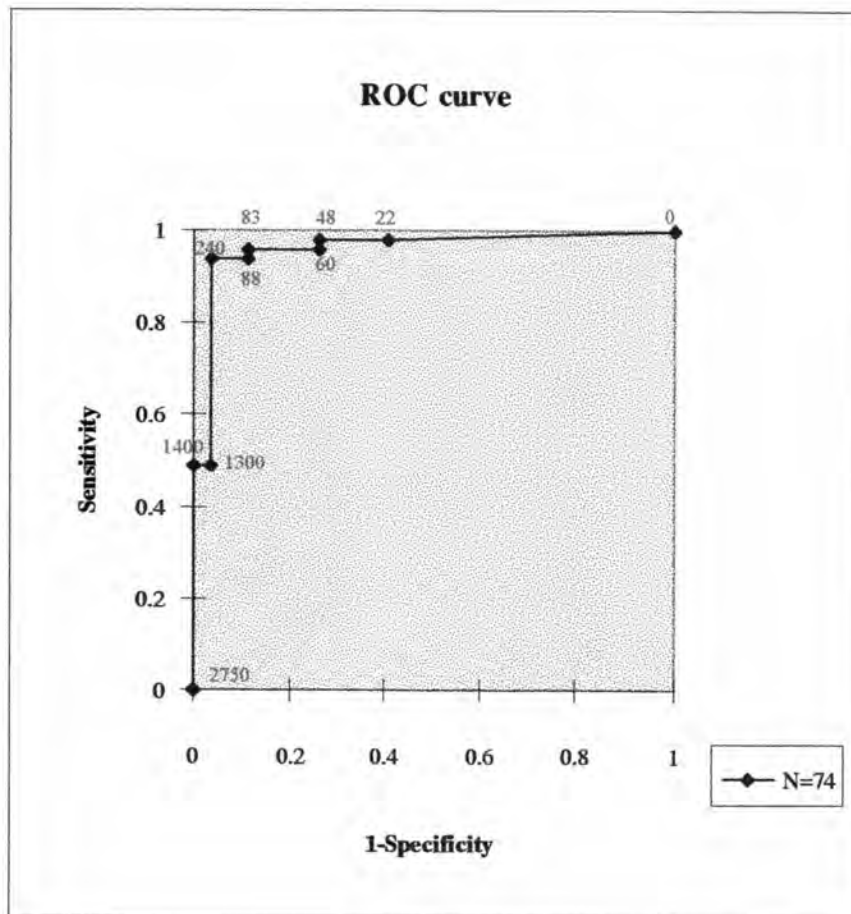
ตารางที่ 7 ความไว ความจำเพาะ และ likelihood ratio for positive test result (LR+) ในการวินิจฉัยวัณโรคเยื่อหุ้มปอดที่จุดตัดต่างๆ (กลุ่มตัวอย่างรวมผู้ป่วยที่น่าจะเป็นวัณโรคเยื่อหุ้มปอด N=74)

Cut-off point (pg/mL)	Sensitivity	Specificity	1-specificity	LR+
0	1.000	0.000	1.000	1.00
22	0.979	0.593	0.407	2.40
48	0.979	0.741	0.259	3.78
60	0.957	0.741	0.259	3.69
83	0.957	0.889	0.111	8.62
88	0.936	0.889	0.111	8.43
240	0.936	0.963	0.037	25.28
1300	0.489	0.963	0.037	13.21
1400	0.489	1.000	0.000	-
2750	0.000	1.000	0.000	-

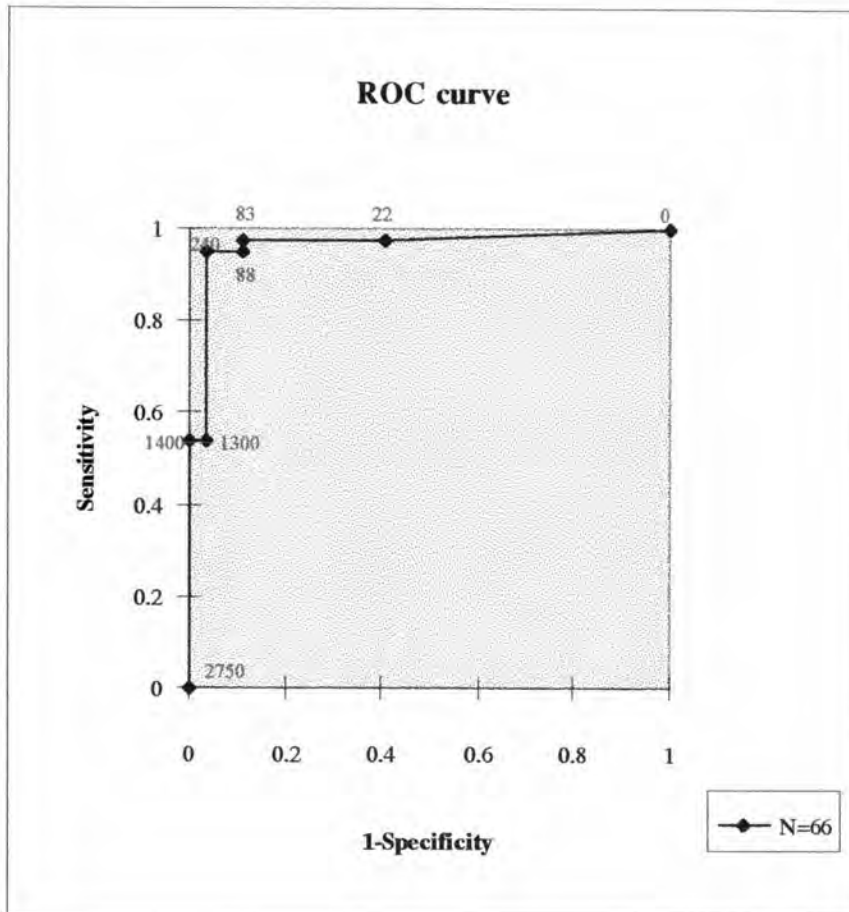
ตารางที่ 8 ความไว ความจำเพาะ และ likelihood ratio for positive test result (LR+) ในการวินิจฉัยวัณโรคเชื้อหุ้มปอดที่จุดตัดต่างๆ (กลุ่มตัวอย่างไม่รวมผู้ป่วยที่น่าจะเป็นวัณโรคเชื้อหุ้มปอด N=66)

Cut-off point (pg/mL)	Sensitivity	Specificity	1-specificity	LR+
0	1.000	0.000	1.000	1.00
22	0.974	0.593	0.407	2.39
83	0.974	0.889	0.111	8.77
88	0.949	0.889	0.111	8.54
240	0.949	0.963	0.037	25.62
1300	0.538	0.963	0.037	14.54
1400	0.538	1.000	0.000	-
2750	0.000	1.000	0.000	-

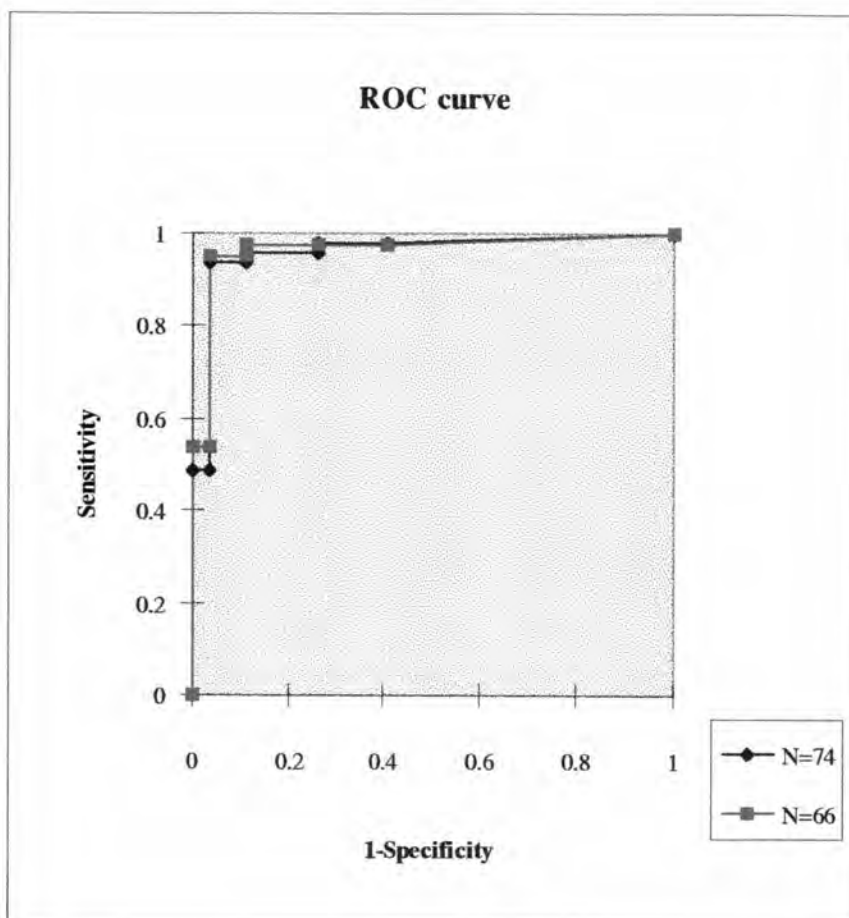
แผนภูมิที่ 7 Receiver Operating Characteristic Curve ของการใช้ระดับ
แกมมาอินเตอร์เฟียร์รอนในการวินิจฉัยวัณโรคเชื้อหุ้มปอด



แผนภูมิที่ 8 Receiver Operating Characteristic Curve ของการใช้ระดับ
แกมมาอินเตอร์เฟียรอนในการวินิจฉัยวัณโรคเชื้อหุ้มปอด
โดยไม่รวมผู้ป่วยที่น่าจะเป็นวัณโรคเชื้อหุ้มปอด



แผนภูมิที่ 9 Receiver Operating Characteristic Curve ของการใช้ระดับ
แกมมาอินเตอร์เฟียร์อนในการวินิจฉัยวัณโรคเชื้อหุ้มปอด
เปรียบเทียบการวิเคราะห์ระหว่างการรวมกลุ่มที่น่าจะเป็น
วัณโรค (N=74) กับการตัดกลุ่มนี้ออก (N=66)



ตารางที่ 9 เปรียบเทียบผลการศึกษานี้กับการศึกษาที่มีมาก่อน

ผู้ศึกษา	Valdes ¹⁰	Aoki ⁹	Villena ²⁴	การศึกษานี้
ประชากร ที่ศึกษา	admitted cases	ไม่ระบุ	all cases	lymphocytic exudative
จุดตัดที่รายงาน จุดตัดในหน่วย pg/mL*	140 pg/mL	1.5 U/mL†	3.7 U/mL	240 pg/mL
วิธีการที่ใช้	RIA	ELISA	RIA	ELISA
ขนาดตัวอย่าง	145	39	388	74
ความไว	94.2%	100%	99%	93.6%
ความจำเพาะ	91.8%	100%	98%	96.3%

* 1 Unit/mL (NIH IFN- γ natural human reference standard Catalog Number

Gg23-901-530) = 103 pg/mL Predicta ELISA value

† รายงานดังกล่าวไม่ได้ระบุค่าจุดตัดไว้ ค่าที่แสดงไว้ประมาณจากข้อมูลดิบที่ให้ไว้

ตารางที่ 10 ความไว ความจำเพาะ และ likelihood ratio for positive test result (LR+) ของการศึกษานี้เมื่อใช้จุดตัดที่เสนอจากรายงานอื่นๆ

จุดตัด (pg/mL)	ผู้ศึกษา	ความไว	ความจำเพาะ	LR+
140	Valdes ¹⁰	0.936	0.926	12.6
154.5	Aoki ⁹	0.936	0.926	12.6
240	การศึกษานี้	0.936	0.963	25.3
381.1	Villena ²⁴	0.894	0.963	24.1